

جستجوی فعالیت مهارکنندگی تیروزیناز قارچی در عصاره‌ی مтанولی ۷۰ گیاهان استان کردستان

اسرین حسنی^۱، محمدعلی زارعی^{۲*}

۱- کارشناس ارشد علوم سلولی و مولکولی، گروه علوم زیستی، دانشکده علوم، دانشگاه کردستان، سنندج، ایران

۲- دانشیار بیوشیمی، گروه علوم زیستی، دانشکده علوم، دانشگاه کردستان، سنندج، ایران

*آدرس مکاتبه: سنندج، بلوار پاسداران، دانشگاه کردستان، دانشکده علوم پایه، گروه علوم زیستی

تلفن: ۰۹۱۸۸۷۱۰۶۳۲، نمبر: ۰۸۷۳۳۶۲۲۷۰۲

پست الکترونیک: mazarei@uok.ac.ir

DOI: 10.29252/jmp.4.72.S12.247

تاریخ پذیرش: ۹۷/۱۰/۲

تاریخ دریافت: ۹۶/۱/۲۰

چکیده

مقدمه: آنزیم تیروزیناز دو مرحله‌ی اول ملانوژنر را در پستانداران کاتالیز می‌کند و مسئول واکنش سیاهشدن گیاهی آنزیمی میوه‌های آسیب دیده و سبزیجات می‌باشد. با مهار آنزیم تیروزیناز می‌توان این بیماری‌ها را تا حد زیادی درمان کرد.

هدف: یافتن مهارکننده‌های قوی، جدید و دارای عوارض کمتر برای آنزیم تیروزیناز در عصاره‌های گیاهی.

روش بررسی: در این پژوهش اثر مهاری عصاره‌ی مтанولی ۷۰ گونه‌ی گیاهی بر روی تیروزیناز قارچی سنجیده شده است. اثر مهاری عصاره‌ها در غلظت‌های نهایی ۴۰۰، ۲۵۰ و ۶/۲ میکروگرم در میلی لیتر مورد سنجش قرار گرفت. از کوچیک اسید به عنوان کنترل مثبت استفاده شده است. سنجش‌ها در سه تکرار با استفاده از دستگاه میکروپلیت ریدر در طول موج ۴۹۲ نانومتر انجام شد.

نتایج: عصاره‌ی نه گیاه با غلظت ۴۰۰ میکروگرم بر میلی لیتر شامل *Heptaptera anatolica*, *Bongardia chrysogonum*, *Salvia suffruticosa*, *Nonea hypoleia*, *Marrubium cuneatum*, *Hypericum scabrum*, *Hyoscyamus kurdicus*, *Verbascum phoenicum* و *Scrophularia pruinosa* دارای مهار بالای ۶۰ درصد می‌باشند. میزان مهار آنزیم توسط عصاره‌ی گیاه مریم گلی بوته‌ای *Asperugo procumbens* و *Astragalus siliquosus* subsp. *siliquosus* در میلی لیتر ۹۴/۷۷ آن میکروگرم در میلی لیتر و نوع مهار نارقابتی بود.

نتیجه‌گیری: عصاره هگزانی گیاه مریم گلی بوته‌ای (*Saliva suffruticosa*) به دلیل درصد مهار بالا و IC_{50} ۹۲/۶۲ درصد و IC_{50} ۹۴/۷۷ آن پایین می‌تواند با هدف جداسازی و تعیین ماهیت عامل مهارکننده آنزیم تیروزیناز قارچی، مورد استفاده قرار گیرد.

گل واژگان: تیروزیناز، مریم گلی بوته‌ای، مهار آنزیمی، هایپرپیگماتاسیون



مقدمه

واقع اغلب مطالعات روی مهار این آنزیم تاکنون روی تیروزیناز قارچی انجام شده است، زیرا این آنزیم از لحاظ تجاری بیشتر در دسترس می‌باشد [۴].

تیروزیناز را می‌توان از منابع ارزانی مثل قارچ خوراکی استخراج کرد. تیروزیناز قارچ خوراکی ویژگی جالب توجهی نشان داده است. تحقیقات تمایل زیاد این آنزیم برای سوبیستراهای مختلف را نشان داده است. به علاوه تیروزیناز قارچ خوراکی یک پلی‌پپتید تترامری است که از جهاتی مشابه با آنزیم تیروزیناز در پستانداران است. ویژگی قابل ملاحظه در تیروزینازهای منابع مختلف این است که به بخش مرکزی آنها دو عنصر مس متصل می‌باشند [۱].

رنگ پوست و موی پستانداران توسط تعدادی فاکتور تعیین می‌شود که مهمترین آنها میزان و نحوه پراکندگی تولید ملانین می‌باشد. اگرچه عمدتاً تولید ملانین در پوست انسان باعث حفاظت پوست در برابر اشعهٔ فرابنفش می‌شود اما تولید بیش از حد یا تجمع غیرطبیعی ملانین در نقاط مختلف پوست باعث ایجاد لکه‌هایی در پوست می‌شود [۳۸]. به این دلیل اختلالات متعدد پوستی ناشی از افزایش سطح پیگمانانتاسیون اپیدرمی ایجاد می‌شود. از انواع این اختلالات می‌توان به ملازمات، لکه‌های پوستی، اگرما، خال، آکنه و آسیب‌های پوستی اشاره کرد که از جمله مشکلات بزرگ زیبایی محسوب می‌شوند [۴۰، ۳۴، ۱۳]. عواملی از جمله قرار گرفتن در معرض نور خورشید، عوامل ژنتیکی، بارداری و بیماری‌های مختلف از جمله بیماری‌های عصبی مانند آلزایمر، پارکینسون و همچنین استفاده از داروهای شیمیایی، از جمله شرایطی است که منجر به ایجاد لکه‌های پوستی و مشکلات زیبایی می‌شوند [۱۰، ۱۴].

فعالیت بالای آنزیم تیروزیناز منجر به هایپرپیگمانانتاسیون (hyperpigmentation) می‌شود و کاهش فعالیت آنزیم باعث ایجاد هیپوپیگمانانتاسیون (hypopigmentation) می‌شود [۷]. از طرفی فرایند سیاهشدنگی مواد غذایی که در اثر اکسیداسیون‌های آنزیمی و غیر آنزیمی ایجاد می‌شود، باعث کم ارزش شدن مواد غذایی و نوشیدنی‌های مشتق از گیاهان می‌شود [۱۵]. می‌توان از اکسیداسیون غیرآنزیمی مواد غذایی

تیروزیناز (Tyrosinase) (مونوفتل، ال-دوپا؛ اکسیژن اکسیدوردوکتاز، EC1.14.18.1) متالوآنزیمی حاوی عنصر مس و دارای چندین عملکرد است. تیروزیناز در ارتباط با یکی از سوبیستراهای آن که اسیدآمینه‌ی تیروزین (Tyrosine) می‌باشد، نامگذاری شده است. این آنزیم تمایل بیشتری برای پیش ماده‌های ال-ایزومر تا دی-ایزومر دارد. اولین بررسی‌های بیوشیمیایی آنزیم تیروزیناز روی قارچ *Russula nigricans* در سال ۱۹۸۵ انجام شد که با آسیب‌دیدگی ساقه‌ی قارچ هنگامی که در معرض هوا قرار گرفت، رنگ آن به قرمز و سپس سیاه تغییرکرد. بعد از این مطالعه، آنزیم به طور وسیعی در بسیاری از موجودات از باکتری‌ها تا پستانداران یافت شد. *Streptomyces glausecens* *Agaricus bisporus* *Neurospora crassa* شدنده‌ترین آنزیم‌ها از فراوان قرار گرفته‌اند [۱]. بسیاری از تیروزینازها از جمله تیروزیناز انسانی، تیروزیناز قارچ خوراکی (*Mushroom tyrosinase*) و نوروسپورا کراسا تعیین توالی شده‌اند. در قارچ‌ها و بی‌مهرگان، تیروزیناز مرحله‌ی اول تشکیل رنگدانه‌ی ملانین از تیروزین را کاتالیز می‌کند. در گیاهان سوبیسترا از فیزیولوژیک آنزیم تیروزیناز انواعی از فنول‌ها هستند که آنزیم آنها را اکسید کرده و در بافت‌های آسیب دیده قرار می‌دهد و باعث سیاه شدن ناحیه‌ی آسیب دیده می‌شود. درنهایت این آنزیم باعث تیره شدن میوه‌ها و سبزیجات آسیب دیده، در طول حمل و نقل و برداشت می‌شود. در پستانداران این آنزیم مسئول تشکیل رنگدانه‌های پوست، مو و چشم است [۲، ۷، ۴۶]. تیروزیناز اعمال دیگری غیر از تولید ملانین انجام می‌دهد از جمله سمزدایی از گیاهان، سنتز آنتی‌بیوتیک از اسیدآمینه و در حشرات نقش تدافعی، بهبود رخت و اسکلت‌سازی را ایفا می‌کند [۵، ۳۵].

تیروزیناز استخراج شده از قارچ *Agaricus bisporus* با آنزیم استخراج شده از پستانداران از لحاظ ساختاری شبه هستند و به عنوان مدل مناسب برای مطالعات ملانوژنیز (Melanogenesis) مورد استفاده قرار گرفته است [۱، ۳]. در

های مهاری گیاهی و مصنوعی با عوارض جانبی حداقل برای درمان لکه‌های پوستی بیشتر شده است [۱۴، ۴۵، ۷].

رویکرد جهانی برای استفاده از گیاهان دارویی و ترکیب‌های طبیعی در صنایع دارویی و بهداشتی، نیاز ضروری به تحقیقات پایه‌ای و کاربردی وسیعی در زمینه‌ی مهارکننده‌های گیاهی را نشان می‌دهد.

تاکنون تحقیقات انجام شده بر روی گیاهان در مناطق مختلف جهان منجر به معرفی مهارکننده‌های جدیدی شده است. بنابراین پژوهش برای یافتن مهارکننده‌های جدید تیروزیناز در میان گیاهان، به صورت انتخابی بسیار مهم است، زیرا منجر به شناسایی مهارکننده‌های جدید و قوی می‌شود.

فلور گیاهی استان کرستان بسیار غنی و متنوع است و از بسیاری از گونه‌های گیاهی این منطقه در طب سنتی برای درمان بیماری‌های مختلف استفاده می‌شود. هدف اصلی پژوهه‌ی حاضر، غربالگری بخشی از گیاهان بومی استان کرستان از لحاظ میزان درصد مهار آنزمیم تیروزیناز است. بدین‌منظور هفتاد گونه‌ی گیاهی از مناطق مختلف استان کرستان جمع آوری و شناسایی شده و پس از عصاره‌گیری در محلول متابول، از لحاظ توانایی مهار آنزمیم مورد بررسی قرار گرفته‌اند. در این پژوهه از کوجیک اسید و آربوتین به عنوان کترل مثبت استفاده شده است.

مواد و روش‌ها

مواد شیمیایی و بیوشیمیایی

آنزمیم تیروزیناز قارچی، اسید کوجیک از شرکت سیگما و ماققی مواد شیمیایی از شرکت مرک آلمان با واسطه نمایندگی‌های مربوطه در ایران خریداری شدند.

جمع آوری، تهیه پودر و تهیه عصاره هگزانی از نمونه‌های گیاهی

گیاهان تحت نظارت آفای مهندس حسین معروفی از مرکز تحقیقات کشاورزی استان کرستان جمع آوری و شناسایی شدند و برای هریک از نمونه‌ها شماره‌ی سند در هرباریوم

توسط افزودنی‌های آنتی‌اکسیدانی، و از اکسیداسیون آنزمیمی از طریق مهار آنزمیم تیروزیناز جلوگیری نمود [۱۶]. آنزمیم تیروزیناز با اکسیداسیون ترکیبات فنلی، مسئول سیاهشدنی آنزمیمی میوه‌ها، سبزیجات و قارچ‌ها است و این سیاهشدنی اثر نامطلوب ظاهری دارد و به همین دلیل در صنایع غذایی، تیروزیناز در کنترل کیفی و اقتصادی میوه‌ها و سبزیجات نقش مهمی دارد [۴۴، ۳۷]. پس هایپرپیگماناتاسیون در پوست انسان و سیاهشدنی آنزمیمی در میوه‌ها و قارچ‌ها مطلوب نیست و این اثرات نامطلوب باعث تشویق محققان، برای یافتن مهارکننده‌های تیروزیناز شده است، تا بتوان از سیاهشدنی میوه‌ها و قارچ‌ها جلوگیری کرده و برای سفید کردن پوست از آنها استفاده نمود [۲۶، ۱]. کاهش فعالیت تیروزیناز به عنوان روشی برای مهار ملانوژنر گزارش شده است. هایپرپیگماناتاسیون یک مشکل جدی زیبایی محسوب می‌شود و به دلیل اهمیت فراوان زیبایی، نیاز شدیدی به مهارکننده‌های تیروزیناز به منظور توسعه‌ی روش‌های درمانی و پیشگیری از اختلالات هایپرپیگماناتاسیون وجود دارد تا بتوانند ملانوژنر را مهار کنند [۴۴، ۳۰، ۱۰]. درنتیجه محققان به دنبال مهارکننده‌های قوی ملانوژنر از منابع طبیعی برای استفاده در لوازم آرایش و بهداشتی هستند [۱۵، ۱۰].

در میان عوامل روش‌کننده‌ی پوست و عوامل برطرف‌کننده‌ی لکه‌های پوستی مینیزیم-آل-آسکوربیل-۲-فسفات، هیدروکسی آنیزول، ان-استیل-۴-اس-سیستمینیل‌فنول، آربوتین، سالیسیل هیدروکرامیک اسید، دیوئیک اسید، کوجیک-اسید، هیدروکوئینون، آلکوزین، نیاسینامید که به طور گسترده در صنایع آرایشی و بهداشتی استفاده می‌شوند و در حال تجویز در سراسر جهان هستند [۲۰، ۱۹، ۱۴].

استفاده‌ی طولانی مدت از هیدروکوئینون در لوازم آرایشی منجر به ایجاد عوارض جانبی از جمله تحریک پوستی و ایجاد جهش می‌شود. به همین دلیل استفاده از هیدروکوئینون در لوازم آرایشی در اتحادیه‌ی اروپا ممنوع شده است و به شدت در ایالات متحده توسط سازمان غذا و دارو (FDA) کنترل می‌شود [۸]. همچنین دیوئیک اسید برای درمان هایپرپیگماناتاسیون اثرات خوبی داشته اما عوارض جانبی مشابهی با هیدروکوئینون دارد به همین دلیل انگیزه‌ی روزافرون برای پیدا کردن جایگزین



درجه سانتی‌گراد تغليظ می‌شد و پس از تخلیه از مخزن دستگاه، جهت خشک شدن کامل، روی ظروف شیشه‌ای مسطح پخش می‌شد و در زیر هود، به دور از نور و در دمای محیط به مدت ۲۴ ساعت قرار می‌گرفت. عصاره‌ی خشک شده از روی سطح ظروف شیشه‌ای جمع‌آوری شده و در میکروتیوب ریخته می‌شد. عصاره‌ها تا انجام مراحل بعدی در دمای ۲۰- درجه‌ی سانتی‌گراد نگهداری می‌شدند.

سنجهش مهار فعالیت آنزیم با استفاده از دستگاه میکروپلیت‌ریدر در این پروژه برای سنجهش تأثیرات عصاره‌های متانولی بر روی آنزیم تیروزیناز از روش ممتاز و همکاران با مختص‌تغییراتی استفاده شد [۸]. بافر مورد استفاده در این سنجهش‌ها بافر فسفات پتاسیم ۵۰ میلی‌مولار با $pH = ۶/۵$ بود، که در مابقی این متن از آن تنها به عنوان بافر یاد خواهد شد. سنجهش‌ها در میکروپلیت‌های ۹۶ چاهکی مطابق جدول شماره ۱ و در حجم کل ۱۱۰ μl با استفاده از دستگاه میکروپلیت‌ریدر انجام شد. در هر چاهک به ترتیب عصاره‌ی متانولی (در یکی از غلظت‌های ۶/۲، ۲۵، ۱۰۰ یا ۴۰۰ میکروگرم در میلی‌لیتر بافر) و آنزیم تیروزیناز (۳۳۳ واحد آنزیمی در میلی‌لیتر بافر) ریخته شده و به مدت ۵ دقیقه در دمای اتاق انکوبه شد، سپس سوبسترای تکنول (۲ میلی‌مولار) را به

مرکز تحقیقات کشاورزی استان کردستان موجود است. گیاهان جمع‌آوری شده در مرکز تحقیقات کشاورزی بوسیله قیچی باگبانی، به صورت قطعات بزرگ برش داده می‌شدند. قطعات گیاهی حاصل بر روی کاغذ قرار داده می‌شدند و برای جلوگیری از قرار گرفتن در معرض نور روی آنها با کاغذ پوشیده می‌شد. هر روز یک بار قطعات گیاهی، به منظور تهویه و خشک شدن بهتر و همچنین کنترل کیفیت روند خشک شدن جابه‌جا می‌شدند. طول مدت خشک شدن در گیاهان مختلف، متفاوت بود اما به طور متوسط در دمای آزمایشگاه طی سه تا چهار روز فرآیند خشک شدن کامل می‌شد. ابتدا نمونه‌ها از لحاظ عدم آلدگی به خاک و یا سایر گیاهان بررسی می‌شدند. آنگاه بوسیله قیچی باگبانی به صورت قطعات کوچکی خرد شده و سپس بوسیله آسیاب خانگی طی سه تا پنج پالس ۳۰ ثانیه‌ای، پودر می‌شدند. پودرهای به دست آمده پس از توزین در ظروف تیره پلاستیکی و درب‌دار تا زمان عصاره‌گیری، در دمای اتاق نگهداری می‌شدند. ۱۰ گرم پودر گیاهی در ۱۰۰ میلی‌لیتر متانول خالص، به مدت ۲۴ ساعت، در ظروف تیره و به دور از نور خیسانده شده، طی این مدت چندین بار در فواصل زمانی مختلف، پودر گیاهی با متانول، بوسیله همزن شیشه‌ای کاملاً مخلوط می‌شد. مخلوط حاصل پس از ۲۴ ساعت توسط کاغذ صافی و اتمن شماره ۴۲ صاف می‌شد. مایع صاف شده با استفاده از دستگاه روتاری اوپراتور با دمای ۶۵

جدول شماره ۱ - تعریف ترکیبات یا محتوای چاهک‌های آزمایش

عصاره	کنترل مثبت	تست بلانک کنترل منفی	تست بلانک مهاری
آنزیم	-	-	۷۰ μl
سوبرسٹرا	۳۰ μl	-	۳۰ μl
بافر	۱۱۰ μl	۱۱۰ μl	۱۱۰ μl
کوجیک اسید	۳۰ μl	۱۰۰ μl	۷۰ μl
	۷۰ μl	۷۰ μl	-

نهایی محاسبه شد. شب نمودار جذب نهایی چاهک‌ها بر علیه زمان محاسبه شد. با مقایسه شب نمودار مربوط به عصاره و شب نمودار کترل منفی و استفاده از فرمول شماره ۱، درصد مهار آنژیم تیروزیناز بوسیله عصاره به دست آمد. درصد مهار برای سه تکرار هر عصاره محاسبه و در پایان میانگین گرفته شد و انحراف استاندارد محاسبه شد. تمامی این مراحل با استفاده از نرم‌افزار Excel انجام شده است.

تمام مراحل گفته شده برای چهار غلظت عصاره انجام شده و میانگین درصد مهار به دست آمد. از طریق رسم نمودار درصد مهار بر علیه لگاریتم غلظت عصاره، IC_{50} (مقدار غلظتی از عصاره که ۵۰ درصد از فعالیت آنژیم تیروزیناز را مهار می‌کند) تعیین شد.

بررسی ستیکی مهار آنژیم تیروزیناز در حضور عصاره‌ی گیاهی با بالاترین درصد مهار

برای تعیین نوع مهار و محاسبه مقادیر K_m ، V_{max} و K_i ، نمودار لینیویربرک برای آنژیم تیروزیناز، در حضور عصاره‌ی گیاهی و بدون حضور عصاره (کترل) در چهار غلظت متفاوت سوبسترا رسم شد. محلول‌های سوبسترا در چهار غلظت فعالیت آنژیم، مقادیر تست و بلانک مطابق جدول شماره ۱، انتخاب شدند و تمام سنجش‌ها در سه تکرار انجام شدند. جذب در طول موج ۴۹۲ نانومتر بعد از گذشت زمان انکوباسیون ثبت شد. تمام محاسبات با استفاده از معادله خط نمودار لینیویربرک در نرم‌افزار Excel محاسبه شد.

چاهک‌ها اضافه کرده و به منظور همزمانی شروع واکنش‌ها، از سمپلر ۱۲ کاناله استفاده شد. سپس میکروپلیت پس از ۲۰ دقیقه انکوباسیون در دمای اتاق درون دستگاه قرار گرفته و پس از ۲ ثانیه هم‌زدن توسط دستگاه، جذب آن به مدت ۱۰ دقیقه با فواصل ۱ دقیقه‌ای در طول موج ۴۹۲ نانومتر ثبت شد. سنجش‌ها در ۳ تکرار انجام شد. جذب میکروپلیت‌های خالی، در طول موج ۴۹۲ نانومتر اندازه‌گیری شده و از جذب نهایی کم شد. به دلیل احتمال وجود عواملی از جمله هیدرولیز خودبخودی سوبسترا و امکان حضور ترکیباتی در عصاره که ممکن است در طول موج ۴۹۲ نانومتر دارای جذب باشند، چاهک بلانک به صورت جداگانه تعریف شد. چاهک بلانک حاوی تمام مواد غیر از آنژیم بوده و در واقع جذب عوامل مزاحم سنجیده می‌شد و از جذب چاهک تست کسر شد. به این دلیل برای هر کدام از عصاره‌ها یک چاهک تست و یک چاهک بلانک در نظر گرفته شد. همه‌ی این تدبیر باعث می‌شود که جذب نهایی فقط در نتیجه‌ی فعالیت آنژیم باشد. همچنین، برای سنجش‌های هر روز از کترول مثبت و کترول منفی استفاده شد. در چاهک تست کترول مثبت به جای عصاره از مهارکننده شناخته شده‌ی کوچیک اسید (در غلظت‌های ۰/۰۱، ۰/۰۱، ۱ و ۱۰۰ میکروگرم در میلی‌لیتر بافر) و در چاهک تست کترول منفی به جای عصاره از بافر استفاده شد (جدول شماره ۱).

تحلیل داده‌ها

پس از پایان سنجش، همان‌طور که گفته شد جذب پلیت خالی از جذب چاهک‌های متناظرش کسر شده و سپس با تفریق جذب چاهک بلانک از جذب چاهک تست، جذب

جدول شماره ۱

شیب منحنی جذب علیه زمان عصاره-شیب منحنی جذب علیه زمان فعالیت	$\times 100$
شیب منحنی جذب علیه زمان نمونه فعالیت	= درصد مهار

نتایج

سنجش درصد مهار آنزیم تیروزیناز

مهار و انحراف استاندارد به دست آمده در جدول شماره ۲
ارائه شده است.

پس از انجام سنجش‌ها، تحلیل داده‌های هر سنجش که در سه تکرار انجام شده بود، با استفاده از نرم‌افزار Excel درصد

ردیف	نام علمی گیاه	کد میردوی	خواص	۱۰۰ µg/ml		۱۰ µg/ml		۵ µg/ml		۱ µg/ml	
				%	SD	%	SD	%	SD	%	SD
۱	<i>Astragalus siliqueus</i> Boiss. subsp. <i>siliquosus</i>	۸۶۱۴	Papilionaceae	۵۹۱۰.۰	۰.۹۰	۵۱۳۱.۱	۱۰۱۳.۴	۷۹۰۸۷۸	۱۰۱۲.۴	۵۹۴۸۸۹	۱۱۳۸۳
۲	<i>Astragalus vegetus</i> Bunge	۵۶۷۷	Papilionaceae	۳۷۷۷۵	۱۰۰.۰	۴۷۰۸۰	۱۰۰.۰	۳۹۰۰۰	۱۰۰.۰	۳۹۰۰۰	۱۰۰.۰
۳	<i>Astragalus macrocarpus</i> F. & M.	۹۱۹۴	Papilionaceae	۳۶۰۷۸	۴۷۵۹۰	۰.۳۴	۱۰۰.۰	۵۳۱۸	۱۰۰.۰	۵۳۱۸	۱۰۰.۰
۴	<i>Aristolochia botrys</i> Jaub. & Spach	۱۰۹۰	Aristolochiaceae	۵۷۱۲۷	۱۰۳۲۴	۷۵۰۲۸	۶۷۰۲۷	۱۷۱۲۰	۸۷۳۳	-۷۱۷۰۲	۴۷۲۵۷
۵	<i>Astragalus caraganae</i> Hohen.	۱۰۰۵۹	Papilionaceae	۵۰۰۰۹	۱۰۰.۰	۵۳۷۴۲	۷۰۰.۰	۷۱۸۳	۱۰۰.۰	۷۱۸۳	۱۰۰.۰
۶	<i>Astragalus corynophorus</i> Bge	۵۰۷۴	Papilionaceae	-۱۶۷۷۲	۱۱۵۱۸	۷۴۴۱	۱۴۳۳۸	۱۷۱۸۷	۸۷۱۹	۱۰۰.۰	۴۷۷۴۳
۷	<i>Asperugo procumbens</i> L.	۷۰۳۴	Boraginaceae	-۷۷۱۵۱	۱۰۲۰۷	۱۴۳۹	۰.۷۸۷	۹۰۰۳۷	۹۰۰۳۷	۹۰۰۳۷	۹۰۰۳۷
۸	<i>Astradous orientalis</i> (L.) Drude <i>var. eriocarpus</i> (Boiss.) Woron.	۱۱۹۴	Apiaceae	-۴۵۳۷۰	۱۰۱۲۷	-۶۷۱۸۴	۰.۷۸۷	۱۱۸۷۰	۰.۱۱۳	۱۱۸۷۰	۰.۱۱۳
۹	<i>Astragalus cyclophyllon</i> G. Beck	۸۴۷۴	Papilionaceae	-۷۱۸۱۰	۷۴۷۴۹	-۶۷۱۸۴	۰.۷۰۳	۷۷۷۱۰	۶۷۷۱۰	۷۷۷۱۰	۶۷۷۱۰
۱۰	<i>Astragalus tessellii</i> Bunge	۷۴۷۸	Papilionaceae	-۷۱۸۱۰	۷۴۷۴۹	-۶۷۱۸۴	۰.۷۰۳	۷۷۷۱۰	۶۷۷۱۰	۷۷۷۱۰	۶۷۷۱۰
۱۱	<i>Allium stipitatum</i> Boiss.	۸۴۷۸	Alliaceae	-۷۱۸۱۰	۷۴۷۴۹	-۶۷۱۸۴	۰.۷۰۳	۷۷۷۱۰	۶۷۷۱۰	۷۷۷۱۰	۶۷۷۱۰
۱۲	<i>Bongardia chrysogonium</i> (L.) Spach	۷۴۷۴	Podophyllaceae	۶۱۱۴۲۹	۱۰۱۱۷۷	۱۶۰۲۹	۱۰۰.۰	۱۶۰۲۹	۰.۰۰۰	۱۶۰۲۹	۰.۰۰۰
۱۳	<i>Bellota nigra</i> L. subsp. <i>Kurdica</i> P.H.Davis	۱۱۷۱۰	Lamiaceae	۴۱۱۰۷۵	۹۴۰۶۰	۱۶۰۲۹	۱۰۰.۰	۱۶۰۲۹	۰.۰۰۰	۱۶۰۲۹	۰.۰۰۰
۱۴	<i>Bellevatia glauca</i> (Lindl.) Kunth.	۵۰۷۰۷	Liliaceae	-۷۱۸۱۰	۷۴۷۴۹	-۶۷۱۸۴	۰.۰۰۰	۷۷۷۱۰	۶۷۷۱۰	۷۷۷۱۰	۶۷۷۱۰



ادامه جدول شماره - ۲

ردیف	نام علمی گیاه	نام علمی	خانواده	۱٪ $\mu\text{g/ml}$		۱٪ $\mu\text{g/ml}$		۱٪ $\mu\text{g/ml}$		۱٪ $\mu\text{g/ml}$	
				SD	I%	SD	I%	SD	I%	SD	I%
۱۵	<i>Centaurea nemecii</i> Nab.	۱۱۷۹۹	Asteraceae	۰۰۰۹۷۰	۰/۰۷۸	۰۰۰۷۰۰	۰/۰۰۰	۰۰۰۴۴۴	۰/۰۳۰	۰۰۰۱۶	۰/۰۰۰۳
۱۶	<i>Campanula involucrata</i> Auch. ex DC.	۱۱۱۳۳	Campanulaceae	۰۰۰۷۹۳۹	۰/۰۳۳	-۰/۰۰۱	۰/۰۱۶	-۰/۰۰۱۳	۰/۰۰۰۴	-۰/۰۰۰۸	۰/۰۰۰۹
۱۷	<i>Centaurea behen</i> L.	۰۱۰۴۰	Asteraceae	۰/۰۱۳۸	۰/۰۷۸	-۰/۰۰۶۸	۰/۰۰۰۴	۰/۰۷۹۷۹	۰/۰۷۰	۰/۰۷۸	-۰/۰۰۱۰
۱۸	<i>Conium maculatum</i> L.	۰۷۰۵۰	Apiaceae	۰/۰۱۰۸	۰/۰۳۹	۰/۰۰۰۸	۰/۰۰۰۸	۰/۰۱۰	۰/۰۱۰	۰/۰۱۰	۰/۰۰۰۲
۱۹	<i>Crambe orientalis</i> L.	۱۱۰۶۰	Brassicaceae	-۰/۰۰۰۸۰۲	۰/۰۱۹	-۰/۰۱۹۱۱	۰/۰۱۹	-۰/۰۰۰۹۰	۰/۰۰۰۷	-۰/۰۰۰۳۰	۰/۰۰۰۱
۲۰	<i>Chaerophyllum macropodium</i> Boiss.	۰۶۰۵۱	Apiaceae	۰/۰۱۹۰	۰/۰۱۹	-۰/۰۰۰۹۱۱	۰/۰۱۹۹	۰/۰۱۹۷	۰/۰۱۹۷	۰/۰۱۹۸	۰/۰۰۰۷۸
۲۱	<i>Clastopus erubescens</i> Houskin.	۰۵۰۵	Brassicaceae	-۰/۰۰۰۹۴	-	-۰/۰۰۰۱۰	-	-۰/۰۰۰۰۹	-	-۰/۰۰۰۳۴	۰/۰۰۰۸
۲۲	<i>Cruciata taurica</i> (Pall. ex Willd.) Ehrend. subsp. <i>Persica</i> (DC.) Ehrend.	۱۱۲۱۷	Rubiaceae	-۰/۰۰۱۰۵	۰/۰۱۷	-۰/۰۰۰۷۹	۰/۰۱۷۹	۰/۰۱۸۱	۰/۰۱۸۰	۰/۰۱۸۸	۰/۰۰۰۳۴
۲۳	<i>Colchicum kotschyi</i> Boiss.	۰/۰۵۱	Colchicaceae	۰/۰۰۰۱	۰/۰۱۷	-۰/۰۰۰۷۹	۰/۰۱۷۹	۰/۰۱۸۰	۰/۰۱۸۰	۰/۰۱۸۸	۰/۰۰۰۴
۲۴	<i>Descurainia sophia</i> (L.) Webb & Berth.	۰/۰۲۹۸	Brassicaceae	۰/۰۰۰۱	۰/۰۰۰۸	-۰/۰۰۰۸۷	۰/۰۰۰۹۱	-۰/۰۰۰۸۲	۰/۰۰۰۷۸	-۰/۰۰۰۷۷	۰/۰۰۰۸۹
۲۵	<i>Eremurus spectabilis</i> M.B. subsp. <i>spectabilis</i>	۰/۰۸۹	Liliaceae	۰/۰۰۰۱	۰/۰۰۰۸	-۰/۰۰۰۷۳	-	۰/۰۰۰۱	۰/۰۰۰۰	۰/۰۰۰۱۴	۰/۰۰۰۱۶
۲۶	<i>Eremostachys leavigata</i> Bunge	۰/۰۸۷	Lamiaceae	۰/۰۰۰۷	۰/۰۰۰۷	-۰/۰۰۰۷	۰/۰۰۰۷	۰/۰۰۰۸	۰/۰۰۰۷	۰/۰۰۰۷	۰/۰۰۰۷
۲۷	<i>Eremostachys macrophylla</i> Montr. & Auch.	۰/۰۱۲	Lamiaceae	۰/۰۰۱	۰/۰۰۰۷	۰/۰۰۰۸	۰/۰۰۰۷	-۰/۰۰۰۲	۰/۰۰۰۱	۰/۰۰۰۱	۰/۰۰۰۲
۲۸	<i>Euphorbia denticulata</i> Lam.	۰/۰۱۴	Euphorbiaceae	-۰/۰۰۰۷	۰/۰۰۰۱	۰/۰۰۰۷	۰/۰۰۰۷	-۰/۰۰۰۷	۰/۰۰۰۱	۰/۰۰۰۷	۰/۰۰۰۷
۲۹	<i>Ferula haussknechtii</i> Wolff ex Rech.	۰/۰۷۱	Apiaceae	۰/۰۰۰۷	۰/۰۰۰۷	۰/۰۰۰۷	۰/۰۰۰۷	-۰/۰۰۰۷	۰/۰۰۰۷	-۰/۰۰۰۷	۰/۰۰۰۷
۳۰	<i>Fumaria vaillantii</i> Loisel.	۰/۰۹۱۷	Fumariaceae	۰/۰۰۰۱	۰/۰۰۰۷	۰/۰۰۰۷	۰/۰۰۰۷	-۰/۰۰۰۱	۰/۰۰۰۱	-۰/۰۰۰۷	۰/۰۰۰۷
۳۱	<i>Glaucium grandiflorum</i> Boiss. & Huet	۰/۰۰۰	Papaveraceae	۰/۰۰۰۸	۰/۰۰۰۷	۰/۰۰۰۷	۰/۰۰۰۷	-۰/۰۰۰۷	۰/۰۰۰۷	۰/۰۰۰۷	۰/۰۰۰۷



داده جدول شماره ۲

ردیف	نام علمی	مرتبه علوم	۲۵		۴۰ $\mu\text{g/ml}$		۱۰۰ $\mu\text{g/ml}$		۲۰۰ $\mu\text{g/ml}$		۳۰۰ $\mu\text{g/ml}$	
			I%	SD	I%	SD	I%	SD	I%	SD	I%	SD
۳۳	<i>Gundelia tournefortii</i> L.	۴۱۶۹	Asteraceae	-۷۷۱۴	۱۴۲۴۱	-۱۲۳۱۸	۵۱۱۳	۱۹۰۰۹	۲۱۹۸۹	۱۹۱۴۹	۰۱۰۳	
۳۴	<i>Hyoscyamus kurdicus</i> Bonn.	۲۸۰۴	Solanaceae	۵۰۰۰۷	۶۱۳۳	۵۰۱۰۸۴	۸۱۹۴۹	۸۱۰۰۴	۵۰۷۰۲	۵۰۷۰۲	۲۳۲۸	
۳۵	<i>Heptaptera anatolica</i> (Boiss.) Tutin	۳۱۷	Asteraceae	۵۶۰۰۷	۶۱۸۰	۱۹۰۰۹	۷۱۷۹۰	-۷۱۷۹۰	۵۰۴۷۹	-۰۱۹۴۸	۲۱۸۷	
۳۶	<i>Hordeum bulbosum</i> L.	۶۸۱	Poaceae	۵۶۷۱	۱۸۱۳	۳۰۰۰۰۶	۱۰۰۳۲	۱۰۰۰۰	۱۰۰۳۲	۱۰۰۳۲	۱۱۷۹۱	
۳۷	<i>Haplophyllum acutifolium</i> (DC.) G.Don	۴۱۴	Rutaceae	-۴۲۱۰۸	۳۰۰۹	-۶۰۰۳۰	۲۲۳۷	-۲۲۰۶۰	۱۱۶۸	-۱۹۰۰۸	۱۱۷۸	
۳۸	<i>Hypericum scabrum</i> L.	۵۱۱۴	Guttiferae	۲۷۱۹۷	.	-۳۷۰۲۹	۱۱۳۰	-۶۰۰۱۳	۲۷۱۱	۲۷۱۹۳	۲۱۷۷	
۳۹	<i>Isatis cappadocica</i> Desv.	۶۱۳	Brassicaceae	-۷۰۰۲۹	۷۱۸۸	-۳۱۰۴۶	۲۲۴۰	-۱۱۰۹۲	۴۱۰۸	-۰۱۹۴۱	۱۹۰۸	
۴۰	<i>Leontice leontopetalum</i> L.	۷۱۷	Podophyllaceae	۵۰۰۰۹	۹۷۰	۳۰۰۰۰۴	۹۱۹	۹۰۰۰۹	۶۰۰۱۳	۷۰۰۰۷	۰۱۷۱۹	
۴۱	<i>Linum album</i> Ky. ex Boiss.	۴۰۰۸	Linaceae	-۴۰۰۰۹	۱۹۰۰۹	-۱۰۰۰۹	۱۰۰۰۹	-۴۰۰۰۹	۴۰۰۰۷	۱۰۰۰۸	۰۱۷۹۹	
۴۲	<i>Marrubium cuneatum</i> Russell	۴۱۴	Lamiaceae	۱۱۷۸	Limaceae	-۹۰۰۰۷	۴۰۰۰۸	-۱۰۰۰۷	۱۰۰۰۷	۱۰۰۰۷	۰۱۰۱۷	
۴۳	<i>Noaea hypoleia</i> Bonn.	۵۱۰	Boraginaceae	۵۰۰۰۷	۸۰۰۰۷	۴۰۰۰۷	۳۰۰۰۷	۴۰۰۰۷	۳۰۰۰۷	۴۰۰۰۷	۰۱۰۰۷	
۴۴	<i>Neptea heliotropifolia</i> Lam.	۰۱۱	Lamiaceae	۷۰۰۰۱	۴۰۰۰۱	۰۱۰۰۱	۴۰۰۰۱	۰۱۰۰۱	۴۰۰۰۱	۰۱۰۰۱	۰۱۰۰۱	
۴۵	<i>Onobrychis megaphros</i> Boiss.	۰۱۱	Papilionaceae	۴۰۰۰۷	۲۰۰۰۹	۱۰۰۰۷	۳۰۰۰۷	-۱۰۰۰۷	۱۰۰۰۷	۱۰۰۰۷	۰۱۰۰۷	
۴۶	<i>Oxytropis koesseliana</i> Boiss. & Hohen.	۰۱۱	Papilionaceae	-۲۰۰۰۷	۲۰۰۰۷	-۱۰۰۰۷	۶۰۰۰۷	-۱۰۰۰۷	۲۰۰۰۷	۱۰۰۰۷	۰۱۰۰۷	
۴۷	<i>Phlomis persica</i> Boiss.	۱۰۰۱	Lamiaceae	۴۰۰۰۷	۲۰۰۰۷	۱۰۰۰۷	۱۰۰۰۷	۰۰۰۰۷	۱۰۰۰۷	۱۰۰۰۷	۰۱۰۰۷	
۴۸	<i>Peganum harmala</i> L.var. <i>harmala</i>	۰۱۱۱	Zygophyllaceae	-۴۰۰۰۷	۱۰۰۰۷	-۰۰۰۰۷	-۰۰۰۰۷	-۰۰۰۰۷	-۰۰۰۰۷	-۰۰۰۰۷	۰۱۰۰۷	

ادامه جدول شماره ۴

ردیف	نام علمی گیاه	کد مولاریوس	خانواره	۴۰۰ µg/ml		۱۰۰ µg/ml		۷۵ µg/ml		۵۰ µg/ml	
				۱%	SD	۱%	SD	۱%	SD	۱%	SD
۴۹	<i>Pedicularis sibiricae</i> Boiss.	۸۱۶۷	Scrophulariaceae	۳۷/۷۴	۶/۹۹۱	۲۹/۹۷۱	۲/۴۹۶	۲۸/۸۷	۴/۴۹	۲۶/۳۳	۴/۴۹۳
۵۰	<i>Rindera lanata</i> (Lam.) Bge.	۱۱۱۴۱	Boraginaceae	۷۷/۷۴۶	۰/۹۹۰	۶/۶۰۹	۰/۹۷۰	۱۷/۷۰	۱/۰۹	۲۱/۸۷۰	۱/۷۹۴
۵۱	<i>Sanguisorba minor</i> Scop. (Boiss & Hausskn)	۳۳۰	Rosaceae	۳۲/۷۱۷	*	۱۷/۷۹	۱/۰۹۰	۲/۰/۸	-	-۰/۰/۸	۳/۸۰۱
۵۲	<i>Stroganowia persica</i> Busch	۷۷۹*	Brassicaceae	-۱۰	۲۹/۹۴۶	۲۷/۹۶۶	۱/۷۹۷	۱۶/۷۸	۴/۴۹	۱۰/۷۱۰	۶/۹۹۱
۵۳	<i>Silene latifolia</i> Poir.	۱۱۵۷۴	Caryophyllaceae	۳۳/۷۰	۱/۰۴۴	-۰/۰/۱۲۸	۲۹/۷۰۹	۱۳/۷۴۶	۰/۰۷۰۴	-۱۶/۰۰۹	۵/۷۱۲
۵۴	<i>Salvia suffruticosa</i> Montr. & Auch.	۱۱۰۵	Lamiaceae	۶/۷۷۴/۷۰	۰/۸۷۷	۶/۷۷۷	۰/۷۰	-۰/۰/۱۴۴	۰/۷۱۷۱	۰/۷۱۴۱	۰/۷۱۱
۵۵	<i>Scrophularia pruinosa</i> Boiss.	۷۷۷۷*	Scrophulariaceae	۲۰/۹۸۳	۱/۲۷۵۱	۱۹/۷۳۰	۱/۰/۰۴	۲۲/۷۷۶	*	۱۷/۷۱۱	۰/۰/۷۱۱
۵۶	<i>Salvia procumbens</i> Nab.	۷۷۷۷*	Lamiaceae	۴/۸۷۲	-	۱۷/۷۲۰	-	۱۷/۷۱۱	۰/۰/۷۳۰	۰/۰/۷۴۷	۰/۰/۷۱۴
۵۷	<i>Salvia multicaulis</i> Vahl.	۷۸۴۷	Lamiaceae	-۲/۶۷۳	۱/۰/۰۱	۰/۸۹۰	۰/۰/۸۲	-۲/۶۷۳	۰/۰/۷۷۳	۰/۰/۷۱۳	۰/۰/۷۱۹
۵۸	<i>Silene armeriana</i> Boiss.	۱۱۰۹	Caryophyllaceae	۰/۰/۷۳	۰/۰/۷۸۱	-۱/۰/۰۲	۰/۰/۷۷۹	۱/۰/۰۳	۰/۰/۷۸۲	۰/۰/۷۸۳	۰/۰/۷۸۳
۵۹	<i>Solenanthus circinatus</i> Ledeb.	۷۷۹۸	Boraginaceae	۳۲/۸۷۴	۰/۰/۷۲۸	-۰/۰/۷۱	۰/۰/۷۲۳	۱۳/۷۲۱	۰/۰/۷۲۳	۰/۰/۷۴۴	۰/۰/۷۴۴
۶۰	<i>Stachys lavandulifolia</i> Vahl	۰۳۷*	Lamiaceae	۱۰/۷۴۳	۰/۰/۷۷۷	-۰/۰/۷۱	۰/۰/۷۷۴	۱۷/۷۴۰	۰/۰/۷۴۶	۰/۰/۷۴۶	۰/۰/۷۴۶
۶۱	<i>Scrophularia nervosa</i> Benth. in C. subsp. <i>bolsieriana</i> (Jaub. & Spach) Grau.	۹۱۷۸	Scrophulariaceae	۲۶/۷۷۶	۰/۰/۷۱۹	۱/۰/۰۱۷	۰/۰/۷۰۸	۰/۰/۷۰۸	۰/۰/۷۰۹	۰/۰/۷۰۹	۰/۰/۷۰۹
۶۲	<i>Scorzoneroides calyculata</i> Boiss.	۷۷۰*	Asteraceae	-۰/۰/۰۹۳	۰/۰/۷۸*	-۰/۰/۰۱۸	۰/۰/۰۷	-۰/۰/۰۸۸	۰/۰/۰۷۸	-۰/۰/۰۷۸	۰/۰/۰۷۸
۶۳	<i>Silene commelinifolia</i> Boiss.	۱۱۷۸*	Caryophyllaceae	۰/۱/۰/۹۱	۰/۰/۷۴۷	-۰/۰/۰۷۰	۰/۰/۰۷۰	۰/۰/۰۷۰	۰/۰/۰۷۱	-۰/۰/۰۷۱	۰/۰/۰۷۱
۶۴	<i>Salvia syriaca</i> L.	۰۳۷*	Lamiaceae	-۰/۰/۰/۱۳	۰/۰/۰۷۴	-۰/۰/۰۰۹	۰/۰/۰۷۰	-۰/۰/۰۱۰	۰/۰/۰۷۰	۰/۰/۰۷۰	۰/۰/۰۷۰

ردیف	نام علمی گیاه	کد مریارجویی	آدامه بذرگان شماره ۴								
			۱۰۰ $\mu\text{g}/\text{ml}$	۱۰ $\mu\text{g}/\text{ml}$	۵ $\mu\text{g}/\text{ml}$	۲ $\mu\text{g}/\text{ml}$	۰/۲ $\mu\text{g}/\text{ml}$	SD			
۷۸	<i>Silene ampullata</i> Boiss.	۷۱۹۸	- Caryophyllaceae	۷۶۸,۹۲۴	۷۳,۸۱	۱۶,۶۷۲	۴,۹۵۰	-۲,۹۴۲	۷۸۷,۷۲	-۱۴,۷۴۷	۰,۷۸۰
۷۹	<i>Tragopogon vaginatus</i> M. Ownbey & Rech. F.	۹۴۴۴	Asteraceae	۱۱,۷۵۲	۷۷۷۸	-۷۰,۱۲۲	۷,۰۵۱	-۴,۸۷۰	۷,۷۰۰	۱,۷۶۴	۰,۷۸۷
۸۰	<i>Licaria variabilis</i> Freyre & Sint	۹۰۹۴	Papilionaceae	-۶,۲۷۳	۸,۷۸۰	-۵۳,۷۱۳	۷,۱۷۴	-۳,۷۴۲	۷,۱۰۹	۱,۷۶۸	۰,۷۸۷
۸۱	<i>Verbascum phoenicum</i> L.	۱۰۳۳	Scrophulariaceae	۸۱,۷۴۱	۷,۹۰۶	۷۸,۷۵۴	۷,۷۸۱	۱۳,۷۴۷	۷,۷۲۴	۳۳,۴۷۴	۰,۷۹۰
۸۲	<i>Licaria hyrcanica</i> Fisch. & C. A. Mey.	۹۳۹۵	Papilionaceae	-۳۹,۰۳۷	۱۷۰۸	-۶,۷۱۱	۷,۷۰۵	۱۷,۷۵۱	۷,۶۶۹	-۰,۷۷۹	۰,۷۸۷
۸۳	<i>Valeriana syimbriifolia</i> Vahl	۱۱۹۴۸	Valerianaceae	۷۷,۷۵۷	۱۱,۷۷۱	۱۷,۷۴۸	۱,۷۸۱	۷,۷۰۸	۷,۷۰۷	۰,۷۸۷	۰,۷۸۷

-۳- مهارکننده ضعیف: گیاهان با درصد مهارکنندگی پایین تر از ۱۵ درصد (جدول شماره ۳)

توجه به نتایج مندرج در جداول فوق، از میان ۷۰ عصاره گیاهی بررسی شده در این مطالعه، عصاره مтанولی ۹ گیاه دارای فعالیت مهاری بالای ۶۰ درصد بودند که مشخصات کلی آنها در جدول شماره ۴ آمده است. این گیاهان جهت مراحل بعدی مطالعه یعنی تعیین شاخص IC_{50} انتخاب شدند (جدول شماره ۵).

دسته‌بندی گیاهان بر اساس درصد مهار

پس از محاسبه‌ی درصد مهارکنندگی عصاره‌ی مтанولی ۷۰ گیاه، بر اساس فعالیت مهاری آنها به سه گروه تقسیم شدند:

-۱- مهارکننده قوی: گیاهان با درصد مهارکنندگی بالای ۶۰ درصد

-۲- مهارکننده متوسط: گیاهان با درصد مهارکنندگی ۱۵-۶۰ درصد

جدول شماره ۳- فراوانی و درصد فراوانی چهار غلظت عصاره‌ی گیاهی در سه گروه مهار

درصد مهار ($\mu\text{g/ml}$)	≤ 15	% ۱۵-۶۰	≥ 60
فراآنی غلظت عصاره	درصد فراوانی	فراآنی درصد فراوانی	فراآنی درصد فراوانی
۴۰۰	۳۴	۴۸/۶	۹
۱۰۰	۵۰	۷۱/۴	۰
۲۵	۴۹	۷۰	۳
۶/۲	۴۷	۶۷/۱	۰

جدول شماره ۴ - فهرست گیاهان دارای فعالیت مهاری قوی

ردیف	نام علمی گیاه	کد هریاریومی	خانواده	درصد مهار $\pm SD$ g/ $\text{ml}\mu$	غلظت
۱	<i>Astragalus siliquosus</i> Boiss. subsp. <i>siliquosus</i>	۸۶۱۴	Papilionaceae	۷۹/۸۳±۱۵/۲۰	۲۵
۲	<i>Asperugo procumbens</i> L.	۷۰۳۴	Boraginaceae	۶۰/۶۳±۹/۵۹	۲۵
۳	<i>Bongardia chrysogonum</i> (L.) Spach	۷۰۵۴	Podophyllaceae	۶۱/۴۶±۱۰/۱۷	۴۰
۴	<i>Hyoscyamus kurdicus</i> Bornm.	۳۸۳۴	Solanaceae	۸۶/۵۵±۵/۷۰	۲۵
۵	<i>Heptaptera anatolica</i> (Boiss.) Tutin	۳۲۷۷	Apiaceae	۶۶/۵۷±۶/۸۲	۴۰
۶	<i>Hypericum scabrum</i> L.	۵۴۱۶	Guttiferae	۶۲/۹۷±۰	۴۰
۷	<i>Marrubium cuneatum</i> Russell	۴۶۷۴	Lamiaceae	۶۶/۱۲±۷/۶۶	۴۰
۸	<i>Nonea hypoleia</i> Bornm.	۷۶۷۵	Boraginaceae	۶۸/۷۵±۸/۴۱	۴۰
۹	<i>Salvia suffruticosa</i> Montbr. & Auch.	۱۲۰۵۵	Lamiaceae	۹۲/۶۲±۸/۷۷	۴۰
۱۰	<i>Scrophularia pruinosa</i> Boiss.	۹۱۷۹	Scrophulariaceae	۶۰/۶۸±۱۲/۴۵	۴۰
۱۱	<i>Verbascum phoenicum</i> L.	۱۰۳۳۳	Scrophulariaceae	۸۱/۴۱±۰/۹۰	۴۰



جدول شماره ۵ - نتایج IC_{50} گیاهان دارای فعالیت مهاری قوی

ردیف	نام علمی گیاه	کد هرباریومی	خانواده	IC_{50} ($\mu\text{g/ml}$)
۱	<i>Astragalus siliquosus</i> Boiss. subsp. <i>siliquosus</i>	۸۶۱۴	Papilionaceae	۲/۱۵
۲	<i>Asperugo procumbens</i> L.	۷۰۳۴	Boraginaceae	۲۵/۲۳
۳	<i>Bongardia chrysogonum</i> (L.) Spach	۷۰۵۴	Podophyllaceae	۳۵۸/۷۵
۴	<i>Hyoscyamus kurdicus</i> Bornm.	۳۸۳۴	Solanaceae	۲۹/۴۸
۵	<i>Heptaptera anatolica</i> (Boiss.) Tutin	۲۲۷۷	Apiaceae	۲۰۵/۰۲
۶	<i>Hypericum scabrum</i> L.	۵۴۱۶	Guttiferae	۲۴۲/۶۷
۷	<i>Marrubium cuneatum</i> Russell	۴۶۷۴	Lamiaceae	۱۴۸/۶۹
۸	<i>Nonea hypoleia</i> Bornm.	۷۶۷۵	Boraginaceae	۱۶۷/۸۰
۹	<i>Salvia suffruticosa</i> Montbr. & Auch.	۱۲۰۵۵	Lamiaceae	۹۴/۷۷
۱۰	<i>Scrophularia pruinosa</i> Boiss.	۹۱۷۹	Scrophulariaceae	۱۷۹/۹۷
۱۱	<i>Verbascum phoenicum</i> L.	۱۰۳۳۳	Scrophulariaceae	۱۴۲/۸۰

بررسی ستیکی فعالیت آنزیم تیروزیناز در حضور و عدم حضور عصاره‌ی گیاهی مریم‌گلی بوته‌ای *Salvia suffruticosa*

با توجه به نتایج فوق، مشخص شد که عصاره‌ی *Salvia suffruticosa* در غلظت ۴۰۰ میکروگرم بر میلی‌لیتر دارای بالاترین درصد مهار است. به منظور تعیین نوع مهار اعمال شده توسط عصاره‌های دارای بیشترین درصد مهار، نمودار معکوس مضاعف لینوپور- برک بر اساس واکنش آنزیمی در حضور غلظت‌های مختلف مهارکننده در چهار غلظت مختلف سوبسترا رسم شد. بر اساس مقایسه‌ی شبیه نمودار کترل و شبیه نمودار عصاره مشخص شد که مهار آنزیم توسط عصاره از نوع مهار نارقابتی است. مقادیر K_m , V_{max} , K_m , K_i و V_{max} از طریق رسم نمودار $[V]/[S]$ بر علیه $[1/1]$ و به دست آوردن معادله‌ی خط (شکل شماره ۲)، محاسبه شد و نتایج در جدول شماره ۷ آمده است.

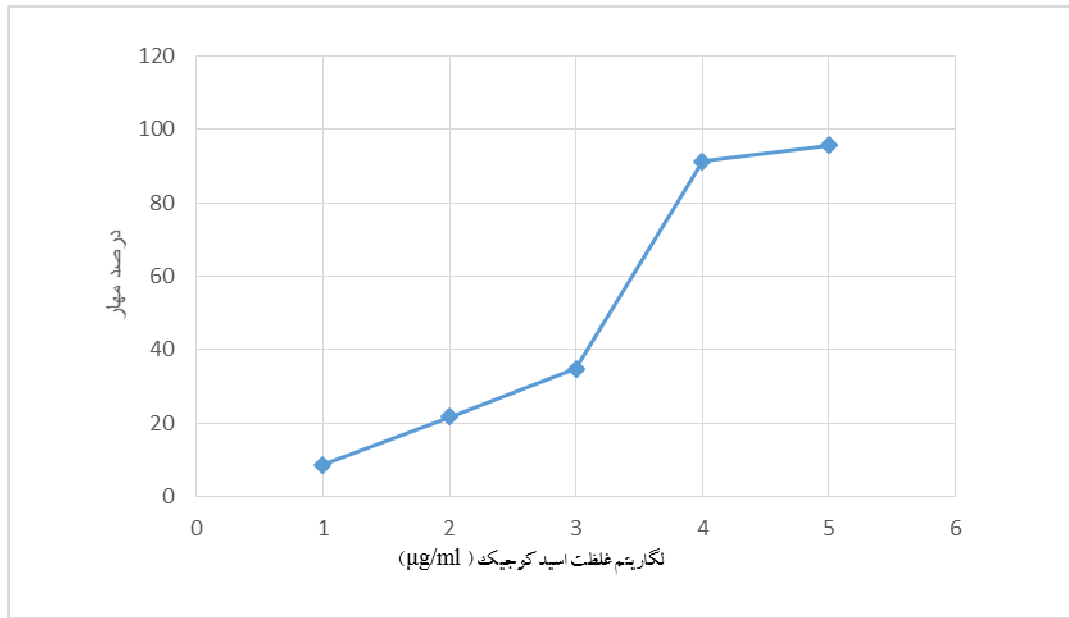
تعیین مقدار IC_{50}

مقدار IC_{50} یک ثابت برای تعیین میزان مهار می‌باشد که نشان‌دهنده غلظت بازدارنده موردیاز برای ۵۰ درصد مهار آنزیم می‌باشد. IC_{50} گیاهان دارای فعالیت مهاری قوی، از طریق رسم نمودار درصد مهار بر علیه لگاریتم غلظت و بدست آوردن معادله‌ی خط محاسبه شد. نتایج بدست آمده جزئیات در جدول شماره ۵ آمده است. نظر به فعالیت مهاری چشمگیر و همچنین شاخص نسبتاً پایین عصاره گیاه مریم‌گلی بوته‌ای، مطالعات ستیک مهار آنزیمی بر روی عصاره این گیاه انجام شد.

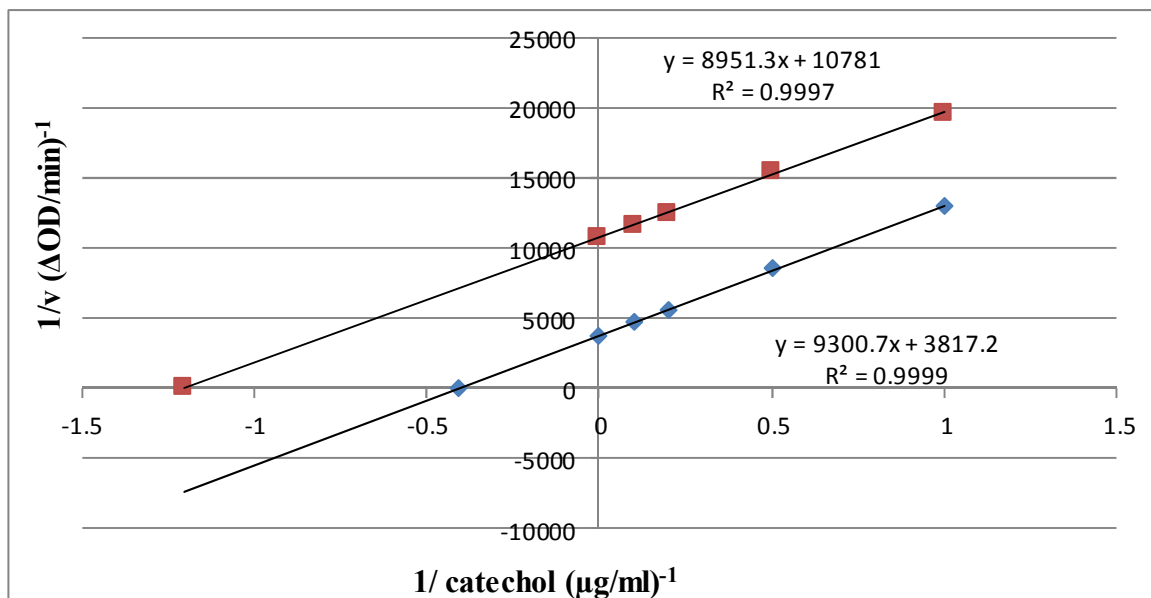
جهت فراهم شدن امکان مقایسه نتایج مهار توسط عصاره‌های گیاهی، فعالیت مهاری کوچیک‌اسید به عنوان یک مهارکننده شناخته شده تیروزیناز در پنج غلظت تعیین شد که نتایج آن در جدول شماره ۶ آمده است. سپس مقدار IC_{50} آن به کمک رسم نمودار مطابق شکل شماره ۱ محاسبه شد.

جدول شماره ۶- درصد مهار تیروزیناز بوسیلهٔ کوجیک اسید

مهارکننده	درصد مهار آنزیم در غلظت‌های مختلف اسید کوجیک										IC_{50} $\mu\text{g/ml}$
	۰/۰۱ $\mu\text{g/ml}$		۰/۱ $\mu\text{g/ml}$		۱ $\mu\text{g/ml}$		۱۰ $\mu\text{g/ml}$		۱۰۰ $\mu\text{g/ml}$		
اسید کوجیک	I%	SD	I%	SD	I%	SD	I%	SD	I%	SD	۰/۱۵
	۸/۶۹	۰/۸۳	۲۱/۷۳	۰/۲۲	۳۴/۷۸	۰/۲۱	۹۱/۳	۱/۱۸	۹۵/۶۵	۱/۲۵	



شکل شماره ۱- نمودار تعیین IC_{50} کنترل مثبت (اسید کوجیک)



شکل شماره ۲- نمودار $[V]/[S]$ بر علیه $1/\text{catechol}$ برای آنزیم تیروزیناز قارچی بدون حضور و در حضور عصاره‌ی مریم‌گلی بوته‌ای، کنترل (■) تست (◆)



۲۵۹

سال هجدهم، دوره چهارم، ویژه‌نامه ۱۲، پاییز ۱۳۹۸

جدول شماره ۷ - نتایج محاسبه مقادیر K_m , K_m' , V_{max} و V_{max}' آنزیم بدون حضور و در حضور عصاره‌ی *Salvia suffruticosa*

K_m ($\mu\text{g/ml}$)	K_m' ($\mu\text{g/ml}$)	V_{max} ($\Delta\text{OD}/\text{min}^{-1}$)	V_{max}' ($\Delta\text{OD}/\text{min}^{-1}$)	K_i ($\mu\text{g/ml}$)
۲/۴۴	۰/۸۳	۰/۰۰۰۲۶	۰/۰۰۰۰۹۳	۲۰۶/۷۶

برای تهیه‌ی لوازم آرایشی و سفیدکننده‌ی پوست، شرکت‌های سازنده‌ی لوازم آرایشی به دنبال مهارکننده‌های جدید و مؤثر برای فرایند ملانوژنر با منشاء گیاهی هستند [۳۸]. چندین ماده‌ی شیمیابی با منشاء گیاهی امروزه در مواد آرایشی و دارویی به عنوان سفیدکننده‌ی پوست استفاده می‌شود تا از تولید بیش از حد ملانین در لایه‌های اپiderمی جلوگیری کند [۴۳، ۴۶]. بر اساس مطالعات و پژوهش‌های چندین ساله استفاده از عصاره‌های گیاهی در لوازم آرایشی و بهداشتی توسعه یافته است مثلاً از عصاره‌های گیاهی *Areca catechu* و *Morus alba* به عنوان سفیدکننده و ضدچین و چروک استفاده شده است [۳۸].

در این پژوهش، در جستجوی ترکیبات فعال طبیعی برای مهار آنزیم تیروزیناز، عصاره‌ی متانولی ۷۰ گونه‌ی گیاهی بررسی شد. نتایج فعالیت مهاری آنزیم تیروزیناز قارچی بر روی ۷۰ عصاره‌ی گیاهی استان کردستان در چهار غلظت و سه تکرار در جدول شماره ۱ ارائه شده است. محاسبه‌ی فعالیت مهاری عصاره‌ها بر اساس مقایسه با کنترل منفی انجام شد و نتایج به صورت درصد مهار بیان شده است. کوچک اسید و آربوتین به عنوان کنترل مثبت استفاده شده است. بر اساس نتایج به دست آمده در این پژوهش، در میان ۷۰ عصاره‌ی گیاهی که مورد سنجش قرار گرفتند، عصاره‌ی متانولی گیاهان *Heptaptera anatolica*, *Bongardia chrysogonum*, *Hypericum scabrum*, *Hyoscyamus kurdicus*, *Nonea hypoleia*, *Marrubium cuneatum*, *Scrophularia pruinosa*, *Salvia suffruticosa* و *Asperugo procumbens*, *Verbascum phoenicum* فعالیت *Astragalus siliquosus* subsp. *siliquosus* مهارکننده‌ی بالای ۶۰ درصد را برای آنزیم تیروزیناز از خود

بحث

مانوژنر یک فرایند فیزیولوژیک مهم در ملانوسیت‌ها می‌باشد. ملانین توسط فرایند ملانوژنر، از طریق واکنش‌های آنزیمی و شیمیابی سنتز می‌شود. تیروزیناز آنزیم کلیدی در مسیر بیوستز ملانین محسوب می‌شود [۴۶، ۳۰]. وجود رنگدانه‌ی ملانین در پوست، باعث حفاظت پوست در فرایند اشعه‌ی فرابنفش و سرطان پوست می‌شود. تغییر در فرایند ملانوژنر، باعث ایجاد اختلالات پوستی مرتبط با هایپر-پیگماتاسیون می‌شود از جمله ایجاد لکه‌های پوستی، تیره شدن پوست، اگزما و ملازما [۳۵].

به دلیل اهمیت زیبایی و سلامت پوست، مهار آنزیم تیروزیناز برای درمان اختلالات پوستی بسیار مورد توجه قرار گرفته است. از مهارکننده‌های تیروزیناز علاوه بر استفاده‌های دارویی، در لوازم آرایشی و بهداشتی برای سفیدکردن پوست استفاده می‌شود [۴۳]. در بسیاری از کشورهای جهان، نگهداری و سلامت پوست، سفید کردن پوست و محافظت از آن در برابر اشعه‌ی فرابنفش بسیار اهمیت دارد و از اهداف مهم صنایع آرایشی و بهداشتی محسوب می‌شود. در کشورهای آسیایی مانند هندوستان برای سفیدکردن پوست از گیاهان به طور سنتی استفاده می‌کنند [۳۰].

در صنایع آرایشی و بهداشتی و صنایع داروسازی به دلیل عوارض جانبی ترکیبات شیمیابی و مصنوعی، به دنبال یافتن ترکیباتی با منشاء گیاهی می‌باشند زیرا استفاده از عصاره‌های گیاهی برای مهار ملانوژنر و همچنین اهداف صنایع آرایشی و بهداشتی، عوارض جانبی بسیار پایینی نسبت به ترکیبات مصنوعی دارند [۳۸]. به طور مثال هیدروکوئینون استفاده شده در لوازم آرایشی برای سفید کردن پوست، سمیت بسیار بالایی دارد. پس به تحقیقات بیشتری برای یافتن مهارکننده‌های جدید با عوارض جانبی پایین نیاز است [۳۴]: به دلیل افزایش تقاضا

دارای قدرت مهاری $81/41 \pm 0/90$ درصد است. از برگ و گل بعضی از گونه‌های جنس *Verbascum* به عنوان دارو برای درمان بیماری‌هایی از جمله تشنج، سرماخوردگی، آسم و همچنین از عصاره‌ی آنها برای رفع خارش و نرم کردن پوست و تقویت مو استفاده شده است. از گونه‌ی *Verbascum thapsus* به عنوان سفیدکننده‌ی پوست استفاده شده است [۵۱].

اثر مهاری گونه‌ی *Astragalus siliquosus* Boiss از خانواده‌ی *Papilionaceae* (باقلایان) بر روی تیروزیناز قارچی هنوز گزارش نشده است اما اثر مهاری گونه‌ی دیگر *Astragalus membranaceous* در سال ۲۰۰۹ این جنس، توسط کیم (Kim) و همکاران بررسی شد و نشان داده شد که مهارکننده‌ی قوی برای تیروزیناز قارچی است [۴۹].

فعالیت مهاری چندین گونه از جنس *Marrubium* بر روی تیروزیناز قارچی گزارش شده است، اثر مهاری تیروزیناز قارچی روی عصاره مтанولی *Marrubium velutinum* و *Marrubium cyllellum* در سال ۲۰۰۷ توسط کاریوتی (Karioti) و همکارانش بررسی شد. این گیاهان دارای ترکیبات مهارکننده‌ی فلاونوئیدی بودند و اثر مهاری قوی بر روی تیروزیناز داشتند [۵۰].

اثر مهاری سایر گونه‌های گیاهی ذکر شده در این مطالعه با درصد مهار بالاتر از ۶۰، بر روی تیروزیناز قارچی برای اولین بار بررسی شده و مطالعه مشابهی تاکنون روی گونه‌های این جنس‌ها صورت نگرفته است.

تعدادی از گیاهان نیز درصد مهار متوسط و تعدادی نیز درصد مهار ضعیف دارند که در فصل نتایج به آنها پرداخته شد. تعدادی از گیاهان نیز دارای درصد مهار منفی بودند. در واقع عصاره گیاهان با درصد مهار منفی در چاهک تست، ظاهراً باعث فعال تر شدن آنزیم شده‌اند که چگونگی این امر کاملاً مشخص نشده است اما می‌توان با جداسازی و شناسایی اجزای موجود در عصاره تا حدودی به چگونگی فعال شدن آنزیم پی برد.

از گیاه *Aloe vera* در طب سنتی برای سفید کردن پوست استفاده می‌شود در مطالعات انجام گرفته با استفاده از عصاره‌ی مтанولی این گیاه، برای مهار کردن آنزیم تیروزیناز قارچی

نشان دادند. این گیاهان می‌توانند منبع بالقوه‌ی جدیدی برای مهارکننده‌های تیروزیناز قارچی باشند.

با توجه به نتایج، بیشترین درصد مهار، مربوط به *Saliva suffruticosa* $400 \mu\text{g}/\text{ml}$ بود. علت مهار بالای این عصاره می‌تواند به دلیل وجود ترکیبات مهارکننده‌ی قوی از پلی فنول‌ها و بنزوئیک اسیدها باشد. اختلاف درصد مهار غلطت‌های این عصاره می‌تواند به دلیل وجود عوامل مداخله‌گر از جمله وجود فاکتورهای فعال‌کننده در عصاره باشد. جنس *Salvia* (مریم‌گلی) بزرگترین جنس از خانواده‌ی *Lamiaceae* (نعناع) می‌باشد که در قسمت مرکزی و غرب آسیا به فراوانی یافت می‌شود. از چندین گونه‌ی این جنس برای درمان بیماری‌های مختلف از جمله التهاب، ضدغوفنی کردن زخم‌های عفونی، مالاریا، سرطان، از دست دادن حافظه و درمان بیماری‌های پوستی استفاده می‌شود. در طب سنتی ترکیه از بعضی گونه‌های مریم‌گلی برای درمان بیماری‌های پوستی استفاده می‌شود. مثلاً از ریشه‌ی گیاه *Salvia aethiopis* به همراه موم و رزین پمادی درست شده است که برای درمان التهاب پوستی استفاده می‌شود. از سایر گیاهان این جنس مانند *Salvia tomentosa* و *Salvia cryptantha* و *Salvia nemorosa* روماتیسمی، بهبود زخم و ناراحتی‌های معده استفاده شده است [۴۸].

گیاه *Hyoscyamus kurdicus* Bornm از خانواده‌ی *Solanaceae* (تیره‌ی سیب‌زمینی) در غلطت $400 \mu\text{g}/\text{ml}$ دارای قدرت مهاری $86/55 \pm 5/70\%$ است. بسیاری از اعضای خانواده‌ی *Solanaceae* دارای اهمیت درمانی هستند، بخصوص به عنوان آرامبخش از آنها استفاده می‌شود. گونه‌های جنس *Hyoscyamus* دارای مقدار زیادی آalkaloid هستند و اهمیت درمانی بالایی دارند اما بعضی از آنها سمی هستند و برای درمان نباید به مقدار زیاد از آنها استفاده کرد. بر اساس تحقیقات صورت گرفته، تاکنون اثر مهاری این جنس بر روی آنزیم تیروزیناز گزارش نشده است [۵۱].

گیاه *Verbascum phoenicum* L از خانواده‌ی *Scrophulariaceae* (تیره‌ی گل میمون) در غلطت $400 \mu\text{g}/\text{ml}$

پوست مفید هستند و باید تحقیقات بیولوژیکی برای تأیید فعالیت این ترکیبات در مسیر ملانوژنر صورت گیرد [۴۲]. از آنجا که مطالعه‌ی ما ممکن بود یک محدودیت رنگ داشته باشد، به این دلیل که سنجش بیولوژیکی عصاره‌ی گیاهان می‌تواند با رنگ عصاره دخالت داشته باشد و رنگ سبز شدید کلروفیل در طول موج آبی و قرمز جذب دارد، لذا با تعریف بلانک ویژه برای هریک از چاهک‌های تست، جذب نوری عصاره، گروه‌های فرعی در عصاره‌ها و هیدرولیز خود به خودی سویسترا رد می‌شود [۱۳].

مهار عصاره‌ها در حلال متابول سنجیده شد. متابول حلالی قطبی است که می‌تواند پودر گیاهان را با بیشترین ترکیبات موجود حل کند و استخراج مؤثری داشته باشد. در طی مطالعات انجام شده ثابت شده است که متابول نسبت به حلال-هایی مانند آب، هگزان و اتیل استات حلال مناسب‌تری برای استخراج ترکیبات فنولی عصاره‌ها است زیرا قدرت نفوذ متابول به سلول‌ها برای استخراج ترکیبات مهارکننده‌ی تیروزیناز زیاد است [۲۹].

در پژوهش حاضر میان درصد مهار چهار غلظت بعضی از عصاره‌ها همبستگی وجود نداشت همان طور که در مطالعات انجام شده بر روی سنجش مهاری عصاره‌های چای سبز در سال ۲۰۱۰ توسط سانگ سریکن (Sangsrichan) و تینگ (Ting) انجام شد. بر اساس نتایج به دست آمده مشخص شد که این همبستگی ناچیز، ممکن است نتیجه‌ی حضور یا عدم حضور و یا مقدار ترکیبات مختلف باشد. اثر مهاری ترکیبات موجود در عصاره‌های استخراج شده، متفاوت بوده است. پس از بررسی ثابت شد که در چای سبز ترکیبات مختلفی با قدرت مهاری متفاوت مانند گلوکاتچین-۳-اکسی‌گالات (galocatechin-3-o-gallate)، اپی‌گالوکاتچین (epigallocatechin) و کاتچین (Catechin) وجود دارد که گالوکاتچین-۳-اکسی‌گالات مهار بالاتری داشته پس کار درست و پس از این مرحله، شناسایی و جداسازی ترکیبات مهاری در عصاره‌های خام می‌باشد [۲۹، ۲۵]. در مطالعات مهاری عصاره‌های گیاهی که در سال ۲۰۰۹ توسط ماکرینی (Macrini) و همکارانش صورت گرفت، مشخص شد که

مشخص شد که این عصاره بر روی تیروزیناز قارچی اثر مهاری ندارد اما در کشت سلول‌های ملانوسیت باعث کاهش تولید ملانین شده است. دلیل آن می‌تواند چنین باشد که بیوسیتر ملانین دارای چندین مرحله است پس عصاره‌ها می‌توانند آنزیم را در مسیر سنتز به طور غیرمستقیم مهار کنند [۷].

در این پژوهش از آنزیم تیروزیناز قارچی خریداری شده از شرکت سیگما استفاده شده است. با وجود برخی از محدودیت‌های استفاده از مهارکننده‌های تیروزیناز قارچی بر روی تیروزیناز انسانی، به دلیل در دسترس بودن تجاری آنزیم تیروزیناز قارچی و فقدان آنزیم تیروزیناز انسانی، این آنزیم نقش بسیار مهمی در مطالعات مهاری تیروزیناز داشته است. بیشتر تحقیقات انجام گرفته در این زمینه بر روی آنزیم خالص شده از *A. bisporus* انجام شده است [۳۳]. تیروزیناز قارچی آنزیمی سیتوزولی است اما تیروزیناز انسانی آنزیمی متصل به غشا است. تیروزیناز قارچی تترامر است و در مقایسه با آن تیروزیناز انسانی مونومر است و همچنین در میزان گلیکوزیله شدن آنها نیز تفاوت وجود دارد. تفاوت‌های تیروزیناز قارچی با تیروزیناز انسانی موجب شده است که محدودیت‌هایی در استفاده از اطلاعات حاصل از پژوهش‌های مهاری وجود داشته باشد [۲۱]. در برخی از مطالعات، از عصاره‌ی خام ملانوسیت‌های انسان به عنوان منبع آنزیم استفاده شده است اما مقدار آنزیم موجود در عصاره کم است و دارای ناخالصی می‌باشد. بنابراین مهندسان رئیسیک به دنبال تولید تیروزیناز نوترکیب انسانی با خواص مناسب برای یافتن مهارکننده‌های جدید هستند [۹].

در طول بیست سال گذشته انواع متفاوتی از مهارکننده‌های تیروزیناز قارچی از منابع مختلف کشف شده‌اند. این موفقیت در مطالعات اساسی در زمینه‌های مختلف از جمله نقش آنزیم تیروزیناز در مسیر بیوسیتر ملانین، بررسی جنبه‌های بیوشیمیایی و ساختاری آنزیم به دست آمده است. با وجود این موفقیت کارهای زیادی هنوز در این زمینه مورد نیاز است [۹، ۲۳].

انتظار می‌رود که وجود ترکیبات آلدیدهای آروماتیک، اسیدهای آروماتیک و پلی‌فلن‌ها که شامل قسمت‌های آبگریز هستند، مهارکننده‌های رقابتی برای سنتز ملانین باشند. شناسایی و بررسی ساختار این ترکیبات در توسعه‌ی عوامل سفیدکننده‌ی

مداخله‌گر در عصاره‌های ناخالص می‌تواند، باعث شود که میان داده‌های حاصل از مهار یک عصاره با چند غلظت همبستگی وجود نداشته باشد [۲۹، ۳۴، ۴۰، ۴۱].

نتیجه‌گیری

بر اساس نتایج به دست آمده در این پژوهش، در میان ۷۰ عصاره‌ی گیاهی که مورد سنجش قرار گرفتند، عصاره‌ی متانولی *Heptaptera Bongardia chrysogonum*, *Hypericum Hyoscyamus kurdicus anatolica*, *Nonea hypoleia Marrubium cuneatum scabrum*, *Scrophularia pruinosa Salvia suffruticosa* و *Asperugo procumbens Verbascum phoenicum* و *Astragalus siliquosus* subsp. *siliquosus* مهارکننده‌ی بالای ۶۰ درصد را برای آنزیم تیروزیناز از خود نشان دادند. هر یک از این گیاهان به نوعه خود می‌توانند در مطالعات بعدی منبع بالقوه‌ی جدیدی برای مهارکننده‌های تیروزیناز قارچی باشند. اما به هر حال عصاره هنگز این گیاه مریم‌گلی بوته‌ای (*Saliva suffruticosa*) به دلیل درصد مهار بالا و IC_{50} پایین می‌تواند با هدف جداسازی و تعیین ماهیت عامل مهارکننده آنزیم تیروزیناز قارچی، مورد استفاده قرار گیرد.

Rapanea و *Ruprechtia sp* محلول عصاره‌های *parriflora* برای آنزیم تیروزیناز مهارکننده‌های قوی هستند با این حال رابطه‌ی معنی‌داری بین غلظت‌های عصاره و درصد مهار وجود نداشت، که ممکن است نتیجه‌ی وجود ترکیبات مختلف مهاری با غلظت متفاوت در عصاره‌ها باشد [۳۴]. در پژوهش‌های متعدد بر روی قدرت مهار عصاره‌های گیاهی، ترکیبات مختلفی با قدرت مهار متفاوت جداسازی شده اند. همچنین روش مهار ترکیبات نیز متفاوت بوده است. اکثر ترکیبات مهار رقابتی ایجاد می‌کنند اما بعضی از آنها باعث ایجاد مهارهای دیگر و همچنین تخریب آنزیم تیروزیناز می‌شوند [۲۹، ۳۴]. بر اساس نتایج سنتیکی آنزیم و مقایسه‌ی شبیه نمودار کترول با شبیه نمودار عصاره‌ی *Saliva suffruticosa* با غلظت ۴۰۰ میکروگرم بر میلی لیتر مشخص شد که مهار آنزیم از نوع مهار نارقابتی می‌باشد. ترکیبات مهاری استخراج شده از عصاره‌های گیاهی در طی پژوهش‌های مختلف شامل: دی‌هیدروفلاونول، فلاونول، فلاوانول، فلاون، ایزوفلاون، تانن، کوئرستین، کمفرول، روتین، راکموفوران و انواع دیگر می‌باشند. این ترکیبات با توجه به تعداد استخلافات متنوع و موقعیت متفاوت آنها قدرت مهاری متفاوتی دارند. با توجه به میزان غلظت این ترکیبات در عصاره‌های گیاهی و قدرت مهاری متفاوت آنها، ممکن است درصد مهار متفاوتی بر روی آنزیم تیروزیناز ایجاد کنند. همچنین وجود اجزای آزاد

منابع

- Chang T. An Updated Review of Tyrosinase Inhibitors. *International Journal of Molecular Sciences* 2009; 10: 2440-2475.
- Garcia-Borron J. C. and Solano F. Molecular Anatomy of Tyrosinase and its Related Proteins: Beyond the Histidine-Bound Metal Catalytic Center. *Pigment Cell Res.* 2002; 15: 162-173.
- Chang, T. Tyrosinase and Tyrosinase Inhibitors. *Journal of Biocatalysis & Biotransformation* 2012; 1: 1-2.
- Kim M., Park J., Song K., Kim H. G., Koh J. S and Boo Y. C. Screening of plant extracts for human tyrosinase inhibiting effects. *International Journal of Cosmetic Science* 2012; 34: 202-208.
- Ismaya W. T., Rozeboom H. J, Weijn A., Mes J. J., Fusetti F., Wichers H. J. and Dijkstra B. W. Crystal Structure of Agaricus bisporus Mushroom Tyrosinase: Identity of the Tetramer Subunits and Interaction with Tropolone. *Biochem.* 2011; 50: 5477-5486.



- 6.** Mason H. S. Tyrosinase dihydroxyphenylalanine by mechanism of the oxidation of the chemistry of melanin: iii. *J. Biological Chem.* 1984; 172: 83-99.
- 7.** Mapunya M. B., Nikolova R. V. and Lall N. Melanogenesis and Antityrosinase Activity of Selected South African Plants. *Evidence-Based Complementary and Alternative Medicine* 2012; 10: 1-6.
- 8.** Momtaz S., Mapunya B. M., Houghton P. J., Edgerly C., Hussein A., Naidoo A. and Lall N. Tyrosinase inhibition by extracts and constituents of *Sideroxylon inerme* L. stem bark, used in South Africa for skin lightening. *J. Ethnopharmacol.* 2008; 119: 507–512.
- 9.** Halaban R., Patton R. S., Cheng E., Svedine S., Trombetta E. S., Wahl M. L., Ariyan S. and Hebert D. N. Abnormal Acidification of Melanoma Cells Induces Tyrosinase Retention in the Early Secretory Pathway. *The Journal of Biological Chem.* 2002; 277: 14821-14828.
- 10.** Chang T. Natural Melanogenesis Inhibitors Acting Through the Down-Regulation of Tyrosinase Activity. *Materials* 2012; 5: 1661-1685.
- 11.** Brighti S., Camera E. and Picardo. Chemical and Instrumental Approaches to Treat Hyperpigmentation. *Pigment Cell Res.* 2003; 16: 101-110.
- 12.** Zho W. and Gao J. The Use of Botanical Extracts as Topical Skin-Lightening Agents for the Improvement of Skin Pigmentation Disorders. *Journal of Investigative Dermatology Symposium Proceedings* 2008; 13: 20–24.
- 13.** Kamkaen N., Mulsri N. and Treesak C. Screening of Some Tropical Vegetables for Anti-tyrosinase Activity. *Thai Pharmaceutical and Health Science J.* 2007; 2: 15-19.
- 14.** Lima L. L., Lima R. M., da Silva A. F., deCarmo A. M., da Silva A. D. and Raposo N. R. B. Azastilbene Analogs as Tyrosinase Inhibitors: New Molecules with Depigmenting Potential. Hindawi Publishing Corporation *the Scientific World J.* 2013; 10: 1-7.
- 15.** Sariri R., Sabbaghzadeh R. and Poumohamad F. In-Vitro Antioxidant and Anti-Tyrosinase Activity of Methanol Extracts from *Crocus Sativus* Flowers. *Pharmacologyonline* 2011; 3: 1-11.
- 16.** Masuda T., Yamashita T., Takeda Y. and Yonemori S. Screening for Tyrosinase Inhibitors among Extracts of Seashore Plants and Identification of Potent Inhibitors from *Garcinia subelliptica*. *Bioscience, Biotechnology and Biochem.* 2005; 69: 197-201.
- 17.** Vuthy T.Y. Screening of anti-tyrosinase activity of Cambodian plants. Ekong Health Congress. 2011, 24-27.
- 18.** Harborne, J. B. and Williams, C. A. Advances in flavonoid research since 1992. *Phytochem.* 2000; 55: 481-504.
- 19.** Rendon M. I. and Gaviri J. I. Review of Skin-Lightening Agents. *Dematol. Surg.* 2005; 31: 886-889.
- 20.** Gillbro J. M. and Olsson M. J. The melanogenesis and mechanisms of skin lightening agents - existing and new approaches. *International Journal of Cosmetic Sci.* 2011; 33: 210–221.
- 21.** An S. M., Lee S. I., Choi S. W., Moon S. M. and Boo Y. C. p-Coumaric acid, a constituent of *Sasa quelpaertensis* Nakai, inhibits cellular melanogenesis stimulated by a melanocyte stimulating hormone. *British Journal of Dermatol.* 2008; 159: 292-299.
- 22.** Xie L. P., Chen Q. X., Huang H., Wang H. Z. and Zang R. Q. Inhibitory Effects of Some Flavonoids on the Activity of Mushroom Tyrosinase. *Biochemistry (Moscow)*, 2003; 68: 487-491.
- 23.** Nitoda T., Isao T. and Kubo I. Effect of Phenolic Compounds Isolated from *Rabdosia Japonica* on B16-F10 Melanoma Cells. *Phytotherapy Res.* 2008; 22: 867-872.



24. Nagata H., Takekoshi S., Takeyama R., Homma T. and Osamura Y. Quercetin Enhances Melanogenesis by Increasing the Activity and Synthesis of Tyrosinase in Human Melanoma Cells and in Normal Human Melanocytes. *Pigment Cell Res.* 2004; 17: 66-73.
25. No J. K., Soung D. Y., Kim Y. J., Shim K. H., Jun Y. S., Rhee S. H., Yokozawa T. and Chung H. Y. Inhibition of tyrosinase by Green Tea Components. *Life Sci.* 1999; 65: 241-246.
26. Ioannou I. and Ghoul M. Prevention of Enzymatic Browning in Fruit and Vegetables. *European Scientific J.* 2013; 9: 310-341.
27. Leu Y. L., Hwang T. L., Hu J. W. and Fang J. Y. Anthraquinone from *Polygonum cuspidatum* as Tyrosinase Inhibitors for dermal Use. *Phytotherapy Res.* 2008; 22: 552-556.
28. Tief K., Hahne M., Schmidt A. and Beermann F. Tyrosinase, the key enzyme in melanin synthesis, is expressed in murine brain. *European J. Biochem.* 1996; 241: 12-16.
29. Sangsrichan S. and Ting R. Antioxidation and Radical Scavenging Activities and Tyrosinase Inhibition of Fresh Tea Leaves, (*Camellia Sinensis*). *Science Journal Union Ratchathani University* 2010; 1: 76-81.
30. Vaibhav S. and Lakshman K. Tyrosinase Enzyme Inhibitory Activity of selected Indian Herbs. *International Journal of Research in Pharmaceutical and Biomedical Sci.* 2012; 3: 977-982.
31. Sahu R. K., Roy A., Matlam M., Deshmukh V. K., Dwivedi J. and Jha A. K. Review on Skin Aging and Compilation of Scientific validated medicinal Plants, Prominence to Flourish a Better Research reconnoiters in Herbal Cosmetic. *Research J. Medicinal* 2013; 7: 1-22.
32. Kim H., Choi J., Cho J. K., Kim S. Y. and Lee Y. S. Solid-phase synthesis of kojic acid-tripeptides and their tyrosinase inhibitory activity, storage stability, and toxicity. *Bioorganic & Medicinal Chemistry Letters* 2004, 14: 2843–2846.
33. Sato K. and Toriyama M. Depigmenting Effect of Catechins. *Molecules* 2009; 14: 4425-4432.
34. Macrini D. J., Suffredini I. B., Varella A. D., Younes R. N. and Ohara M. T. Extracts from Amazonian plants have inhibitory activity against tyrosinase: an in vitro evaluation. *Brazilian J. Pharmaceutical Sci.* 2009; 45: 715-721.
35. Miyazawa M., Oshima T., Koshio K., Itsuzaki Y. and Anzai J. Tyrosinase Inhibitor from Black Rice Bran. *J. Agricultural Food Chem.* 2003; 5: 6953-6956.
36. Tel G., Ozturk M., Duru M. E., Dogan B. and Harmandar M. Fatty Acid Composition, Antioxidant, Anticholinesterase and Tyrosinase Inhibitory Activities of Four *Serratula* Species from Anatolia. *Records of Natural Products* 2013; 7: 86-95.
37. Ha T. J., Tamura S. and Kubo I. Effects of Mushroom Tyrosinase on Anisaldehyde. *J. Agricultural Food Chem.* 2005; 7: 7024-7028.
38. Moon J. Y., Yim E. Y., Song G., Lee N. H. and Hyun C. G. Screening of elastase and tyrosinase inhibitory activity from Jeju Island plants. *Eur. Asian J. BioSci.* 2010; 4 (6): 41-53.
39. Saewan N., Koysomboon S. and Chantrapromma K. Anti-tyrosinase and anti-cancer activities of flavonoids from Blumea balsamifera DC. *J. Medicinal Plants Res.* 2011; 5: 1018-1025.
40. Ding H. Y., Lin H. C. and Chang T. S. Tyrosinase inhibitors isolated from the roots of *Paeonia suffruticosa*. *J. Cosmetic Sci.* 2008; 60: 347-352.
41. Li H. T., Ruan S. W., Huang J. C., Chen H. L. and Chen C. Y. Antioxidant and tyrosinase inhibitor from *Leucaena leucocephala*. *African J. Biotechnol.* 2012; 11: 14182-14185.
42. Therdphapiyanak N., Jaturanpinyo M., Waranuch N., Kongkaneramit L. and Sarisuta N. Development and assessment of tyrosinase inhibitory activity of liposomes of *Asparagus racemosus* extracts. *Asian J. Pharmaceutical Sci.* 2013; 8: 134-142.

- 43.** Souza P. M., Elias S. T., Simeoni L. A., de Paula J. E., Gomes S. M., Guerra E. N., Fonseca Y. M., Silva E. C., Silveira D. and Damaris M. P. O. Plants from Brazilian Cerrado with Potent Tyrosinase Inhibitory Activity. *PLoS ONE* 2012; 7: e48589. doi: 10.1371/journal.pone.0048589.
- 44.** Loizzo M. R., Tundis R. and Menichini F. Natural and Synthetic Tyrosinase Inhibitors as Antibrowning Agents: An Update. *Comprehensive Reviews in Food Science and Food Safety* 2012; 11: 378-398.
- 45.** Lim T. Y., Lim Y. Y. and Yule C. M. Evaluation of antioxidant, antibacterial and anti-tyrosinase activities of four *Macaranga* species. *Food Chem.* 2009; 114: 594-599.
- 46.** Kubo I., Chen Q. X., Nihei K. I., Calderon J. S. and Cespedes C. L. Tyrosinase Inhibition Kinetics of Anisic Acid. *Verlag der Zeitschrift für Naturforschung* 2003; 58: 713-718.
- 47.** Seo S. Y., Sharma V. K. and Sharma A. T. Mushroom Tyrosinase: Recent Prospects. *J. Agricultural and Food Chem.* 2003, 51: 2837-2853.
- 48.** Suntar I., Akkol E. K., Senol F. S. Keles H. and Orhan I. E. Investigating wound healing, tyrosinase inhibitory and antioxidant activities of the ethanol extracts of *Salvia cryptantha* and *Salvia cyanescens* using in vivo and in vitro experimental models. *J. Ethnopharmacol.* 2011; 135: 71-77.
- 49.** Kim J. H., Kim M. R., Lee E. S. and Lee C. H. Inhibitory Effects of Calycosin Isolated from the Root of *Astragalus membranaceus* on Melanin Biosynthesis. *Biological Pharmacology Bulletin* 2009; 32: 264-268.
- 50.** Karioti A., Protopappa A., Megoulas N. and Skaltsa H. Identification of tyrosinase inhibitors from *Marrubium velutinum* and *Marrubium cylindricum*. *Bioorganic & Medical Chem.* 2007; 15: 2708-2714.
- 51.** Zargari A., Medicinal Plants. (7th edition). Vol. 3. Tehran University Publications. IRAN. 1997, pp: 675-679.

